Date: 03/08/2011 Page: 1/18

Clé: V2.03.502

Titre: SDLS502 - Plaque carrée « solide » simplement supp[...]

Responsable : Albert ALARCON

# SDLS502 - Plaque carrée « solide » simplement supportée

#### Résumé:

Ce test représente un calcul en analyse modale dynamique d'une plaque carrée épaisse simplement supportée. Ce test permet de valider :

les modélisations éléments finis DST, DKT,  $COQUE\_3D$  avec des mailles QUAD4 et TRIA3, QUAD8 et TRIA6, et 3D avec des mailles HEXA20,

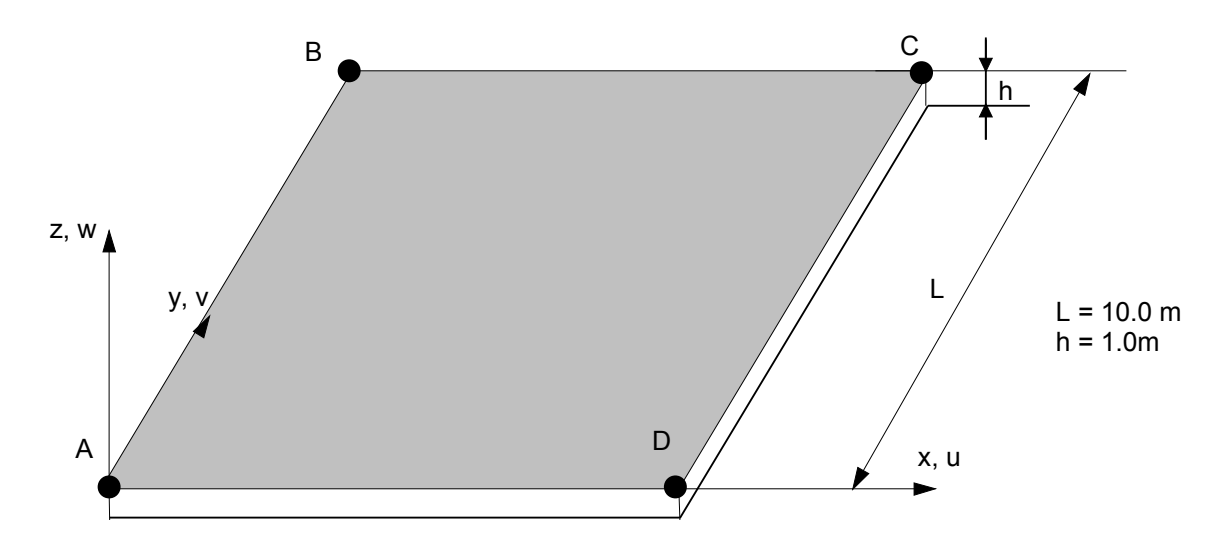
la prise en compte de la rigidité en cisaillement transverse.

Les fréquences et les modes obtenus sont comparés à une solution de référence, proposée par NAFEMS, obtenue avec un calcul éléments finis de type volumique.

Date: 03/08/2011 Page: 2/18 Responsable: Albert ALARCON Clé: V2.03.502 Révision: 6802

### Problème de référence

#### 1.1 Géométrie



#### 1.2 Propriétés du matériau

Les propriétés du matériau constituant la plaque sont :

Pa Module d'Young  $E = 2.10^{11}$ Coefficient de poisson v = 0.3Masse volumique  $\rho = 8000. kg/m^3$ 

#### 1.3 **Conditions aux limites et chargements**

Plaque simplement supportée sur son contour.

#### **Conditions initiales** 1.4

Sans objet

Date: 03/08/2011 Page: 3/18 Responsable: Albert ALARCON Clé: V2.03.502 Révision: 6802

### Solution de référence

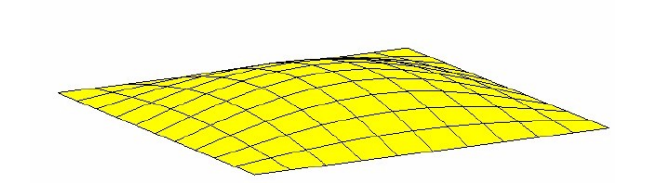
#### 2.1 Méthode de calcul utilisée pour la solution de référence

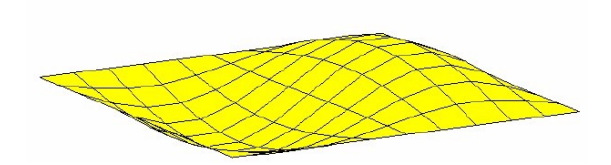
la solution de référence proposée par NAFEMS [bib1] a été obtenue à partir un calcul éléments finis 3D avec des éléments briques à 20 nœuds et avec un maillage  $4\times4$  (plan xy) et 1 élément suivant l'épaisseur.

#### 2.2 Résultats de référence

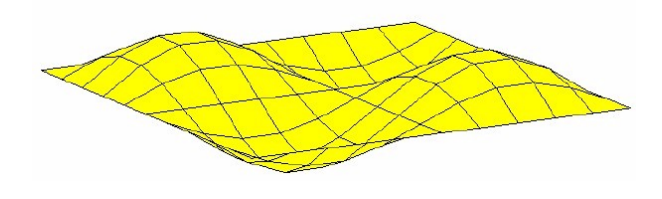
7 premières fréquences non nulles et les modes propres associés, les trois premiers modes sont ceux de corps rigides :

Fréquence (mode 4 hors plan) 44.762 hz Fréquence (modes 5 & 6 hors plan) 110.52 hzFréquence (mode 7 hors plan) 169.08 hz Fréquence (Mode 8 dans le plan) 193.93 hz Fréquence (mode 9 & 10 dans le plan) : 206.64 hz

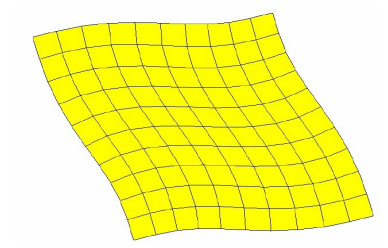




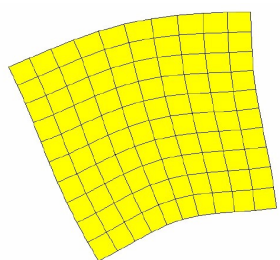
mode 4 hors plan



mode 5&6 hors plan



mode 7 hors plan



mode 9&10 dans le plan

mode 8 dans le plan

#### 2.3 Incertitudes sur la solution

< 2% pour un maillage identique à celui du [§2.1], c'est-à-dire avec peu d'éléments.

#### 2.4 Références bibliographiques

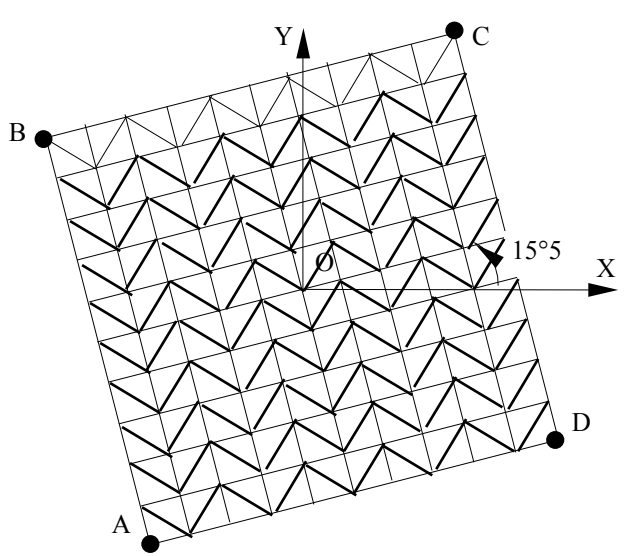
1.NAFEMS: The standard NAFEMS Benchmarks, TNSB, Rev. 3, 5 octobre 1990.

Responsable : Albert ALARCON

# supp[...] Date : 03/08/2011 Page : 4/18 Clé : V2.03.502 Révision : 6802

### 3 Modélisation A

### 3.1 Caractéristiques de la modélisation



Modélisation DST (TRIA3)

- La plaque est située dans le plan Z= 2.3
- Point O: (0.;0.;2.3)

#### Conditions aux limites:

- Cotés AB, BC, CD, DA: w=0

Pour valider la modélisation dans un repère différent du repère global, la plaque est tournée de 15,5 °. Ceci ne doit pas changer les fréquences propres obtenues.

# 3.2 Caractéristiques du maillage

Nombre de nœuds : 122

Nombre de mailles et types : 200 TRIA3

Identification	Instants	Référence	Aster	% différence
Fréquence		44.762	44.989	0.507
(mode 4 hors plan)				
Fréquence		110.52	107.608	-2.634
(modes 5 & 6 hors plan)			107.880	-2.388
Fréquence		169.08	165.454	-2.144
(mode 7 hors plan)				
Fréquence		193.93	196.089	1.114
(Mode 8 dans le plan)				
Fréquence		206.64	211.658	2.428
(mode 9 & 10 dans le plan)			212.000	2.594

Titre : SDLS502 - Plaque carrée « solide » simplement supp[...]

Date: 03/08/2011 Page: 5/18 Responsable: Albert ALARCON Clé: V2.03.502

#### 3.4 Remarques

Dans Aster, les modes calculés sont ceux de corps rigide : le quatrième mode de référence est le premier mode calculé par Code\_Aster.

Apparition de deux modes de flexion entre les modes 8 et 9 de référence : ces modes sont les modes 6 et 7 de Code\_Aster.

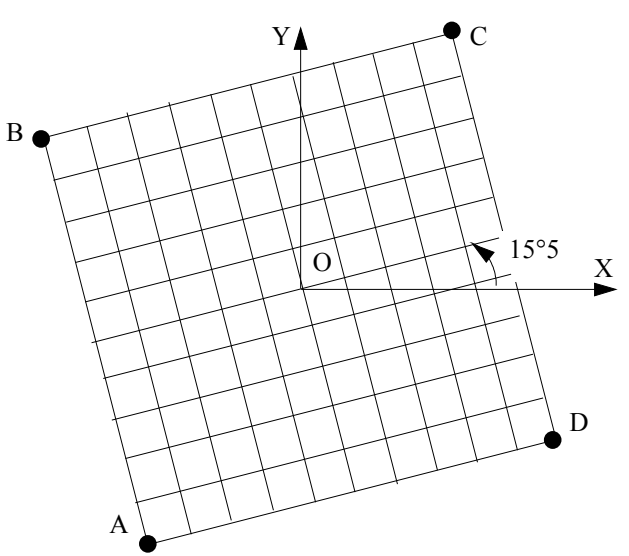
Mode n°	Fréquence (Hz)
1	44,98
2	107.61
3	107.88
4	165.45
5	196.09
6	202.80
7	203.54
8	211.66
9	212.00
10	222.53
11	254.74
12	255.62
13	264.73
14	289.85

Titre : SDLS502 - Plaque carrée « solide » simplement supp[...]

Responsable : Albert ALARCON

### 4 Modélisation B

### 4.1 Caractéristiques de la modélisation



Modélisation DST (QUAD4)

Clé: V2.03.502

- La plaque est située dans le plan Z= 2.3

Date: 03/08/2011 Page: 6/18

- Point O: (0.;0.;2.3)

#### Conditions aux limites:

- Cotés AB, BC, CD, DA: w=0

Pour valider la modélisation dans un repère différent du repère global, la plaque est tournée de 15,5 °. Ceci ne doit pas changer les fréquences propres obtenues.

### 4.2 Caractéristiques du maillage

Nombre de nœuds : 122

Nombre de mailles et types : 100 QUAD4

Identification	Instants	Référence	Aster	% différence
Fréquence (mode 4 hors plan)		44.762	44.64	-0.273
Fréquence (modes 5 & 6 hors plan)		110.52	108.04	-2.247
,			108.26	-2.041
Fréquence (mode 7 hors plan)		169.08	162.86	-3.681
Fréquence (Mode 8 dans le plan)		193.93	195.70	0.912
Fréquence (mode 9 & 10 dans le plan)		206.64	208.89	1.088
. ,			208.89	

Date: 03/08/2011 Page: 7/18 Responsable: Albert ALARCON Clé: V2.03.502 Révision: 6802

#### 4.4 Remarques

Dans Code\_Aster, les modes calculés sont ceux de corps rigide : le quatrième mode de référence est le premier mode calculé par Code\_Aster.

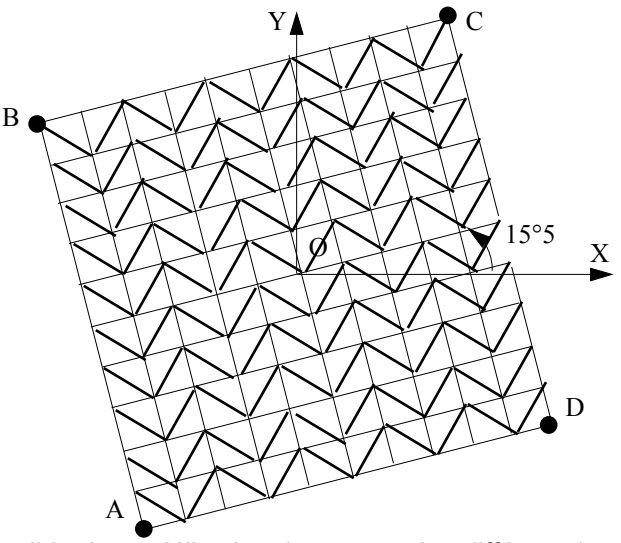
Apparition de deux modes de flexion entre les modes 8 et 9 de référence : ces modes sont les modes 6 et 7 de Code\_Aster.

Mode n°	Fréquence ( $H\!z$ )
1	44.64
2	108.04
3	108.26
4	162.86
5	195.70
6	203.97
7	206.08
8	208.89
9	208.89
10	220.92
11	248.12
12	250.10
13	252.49
14	289.79

Date: 03/08/2011 Page: 8/18 Responsable : Albert ALARCON Clé: V2.03.502 Révision: 6802

#### **Modélisation C** 5

#### 5.1 Caractéristiques de la modélisation



Modélisation DKT (TRIA6)

- La plaque est située dans le plan Z= 2.3
- Point O: (0.;0.;2.3)

#### Conditions aux limites:

- Cotés AB, BC, CD, DA: w=0

Pour valider la modélisation dans un repère différent du repère global, la plaque est tournée de 15,5°. Ceci ne doit pas changer les fréquences propres obtenues.

#### 5.2 Caractéristiques du maillage

Nombre de nœuds : 122

Nombre de mailles et types : 200 TRIA3

Identification	Instants	Référence	Aster	% différence
Fréquence		44.762	47.358	5.799
(mode 4 hors plan)				
Fréquence		110.52	118.029	6.795
(modes 5 & 6 hors plan)			118.059	6.822
Fréquence		169.08	187.504	10.897
(mode 7 hors plan)				
Fréquence		193.93	196.089	1.114
(Mode 8 dans le plan)				
Fréquence		206.64	211.658	2.428
(mode 9 & 10 dans le plan)			212.000	2.594

Titre: SDLS502 - Plaque carrée « solide » simplement supp[...]

Date: 03/08/2011 Page: 9/18 Responsable: Albert ALARCON Clé: V2.03.502

#### 5.4 Remarques

Dans Aster, les modes calculés sont ceux de corps rigide : le quatrième mode de référence est le premier mode calculé par le Code\_Aster.

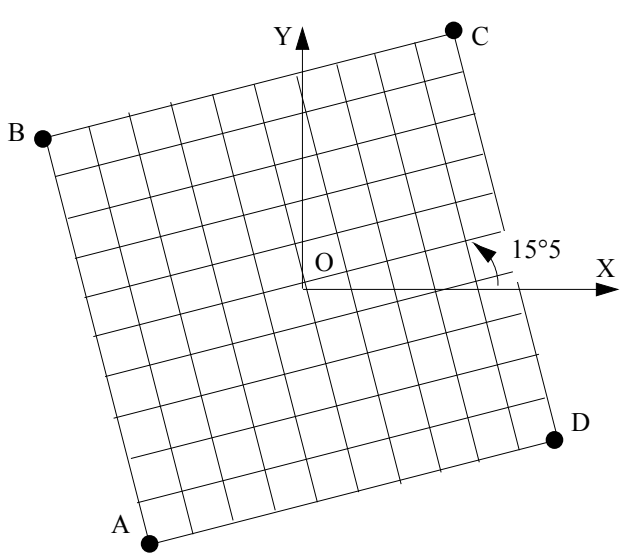
Apparition de deux modes de flexion après le mode 11 de référence (mode 8 du Code\_Aster), de la même forme que ceux apparus dans la modélisation DST entre les modes 8 et 9 de référence (modes 6 et 7 du Code\_Aster).

Mode n°	Fréquence (Hz)
1	47.358
2	118.03
3	118.06
4	187.50
5	196.09
6	211.66
7	212.00
8	222.53
9	235.41
10	235.56
11	264.73
12	289.85
13	302.84
14	303.15

Date: 03/08/2011 Page: 10/18 Responsable: Albert ALARCON Clé: V2.03.502 Révision: 6802

#### **Modélisation D** 6

#### 6.1 Caractéristiques de la modélisation



Modélisation DKT (QUAD4)

- La plaque est située dans le plan Z= 2.3
- Point O: (0.;0.;2.3)

#### Conditions aux limites:

- Cotés AB, BC, CD, DA: w=0

Pour valider la modélisation dans un repère différent du repère global, la plaque est tournée de 15,5°. Ceci ne doit pas changer les fréquences propres obtenues.

#### Caractéristiques du maillage 6.2

Nombre de nœuds : 122

Nombre de mailles et types : 100 QUAD4

Identification	Instants	Référence	Aster	% différence
Fréquence		44.762	47.182	5.408
(mode 4 hors plan)				
Fréquence		110.52	117.463	6.283
(modes 5 & 6 hors plan)				
Fréquence		169.08	184.746	9.266
(mode 7 hors plan)				
Fréquence		193.93	195.699	0.912
(Mode 8 dans le plan)				
Fréquence	-	206.64	208.887	1.088
(mode 9 & 10 dans le plan)				

Date: 03/08/2011 Page: 11/18 Responsable: Albert ALARCON Clé: V2.03.502 Révision: 6802

#### 6.4 Remarques

Dans Aster, les modes calculés sont ceux de corps rigide : le quatrième mode de référence est le premier mode calculé par Code\_Aster.

Apparition de deux modes de flexion après le mode 11 de référence (mode 8 de Code Aster), de la même forme que ceux apparus dans la modélisation DST entre les modes 8 et 9 de référence (modes 6 et 7 de Code\_Aster).

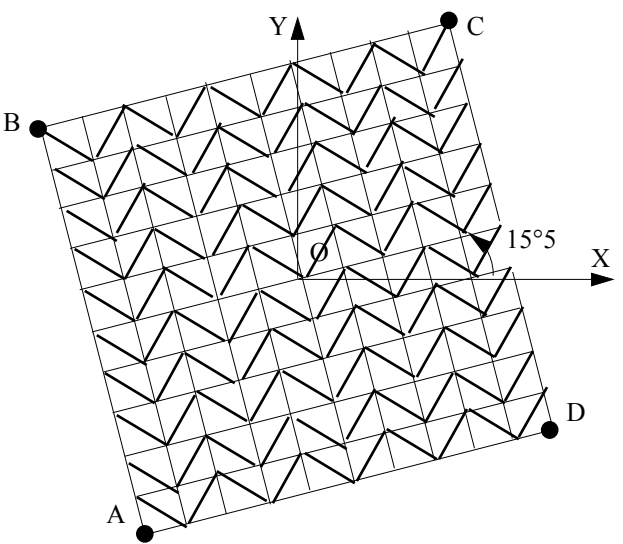
Mode n°	Fréquence (Hz)
1	47.183
2	117.46
3	117.46
4	184.75
5	195.70
6	208.89
7	208.89
8	220.92
9	234.74
10	234.74
11	252.49
12	289.79
13	297.27
14	297.27

Titre : SDLS502 - Plaque carrée « solide » simplement supp[...]

Responsable : Albert ALARCON Clé : V2.03.502

### 7 Modélisation E

### 7.1 Caractéristiques de la modélisation



Modélisation COQUE\_3D (TRIA6)

Date: 03/08/2011 Page: 12/18

- La plaque est située dans le plan Z= 2.3
- Point O: (0.;0.;2.3)

#### Conditions aux limites:

- Cotés AB, BC, CD, DA: w=0

Pour valider la modélisation dans un repère différent du repère global, la plaque est tournée de 15,5 °. Ceci ne doit pas changer les fréquences propres obtenues.

### 7.2 Caractéristiques du maillage

Nombre de nœuds : 122

Nombre de mailles et types : 200 TRIA6

Identification	Instants	Référence	Aster	% différence
Fréquence		44.762	43.867	2.00
(mode 4 hors plan)				
Fréquence		110.52	106.058	-4.037
(modes 5 & 6 hors plan)			106.066	-4.029
Fréquence		169.08	160.010	-5.305
(mode 7 hors plan)				
Fréquence		193.93	193.600	-0.170
(Mode 8 dans le plan)				
Fréquence		206.64	206.209	0.208
(mode 9 & 10 dans le plan)			206.211	0.207

Date: 03/08/2011 Page: 13/18 Responsable: Albert ALARCON Clé: V2.03.502 Révision: 6802

#### 7.4 Remarques

Dans Aster, les modes calculés sont ceux de corps rigide : le quatrième mode de référence est le premier mode calculé par Code\_Aster.

Apparition de deux modes de flexion entre les modes 8 et 9 de référence : ce sont les modes 6 et 7 de Code\_Aster.

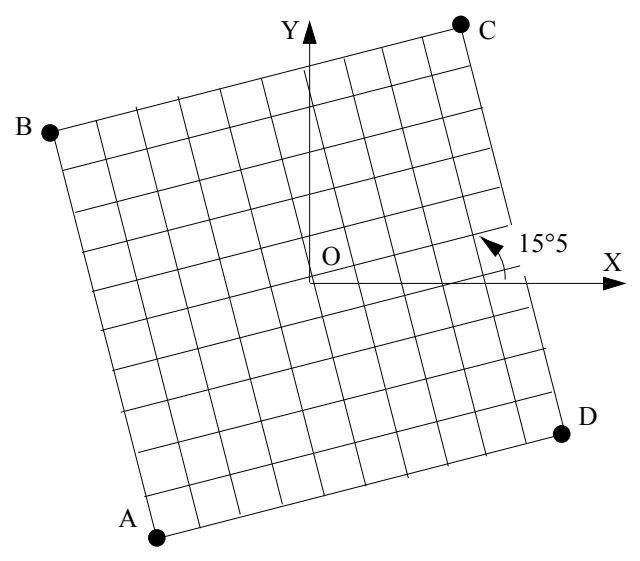
Mode n°	Fréquence ( $H\!z$ )
1	43,867
2	106.06
3	106.07
4	160.11
5	186,72
6	193.60
7	199.76
8	200.23
9	206.21
10	206.21
11	219.28
12	245.91
13	245.94
14	249.27

Responsable : Albert ALARCON

Date: 03/08/2011 Page: 14/18 Clé: V2.03.502 Révision: 6802

### 8 Modélisation F

# 8.1 Caractéristiques de la modélisation



Modélisation COQUE\_3D (QUAD8)

- La plaque est située dans le plan Z= 2.3

- Point O: (0.;0.;2.3)

Conditions aux limites:

- Cotés AB, BC, CD, DA: w=0

Pour valider la modélisation dans un repère différent du repère global, la plaque est tournée de  $15.5^{\circ}$ . Ceci ne doit pas changer les fréquences propres obtenues.

### 8.2 Caractéristiques du maillage

Nombre de nœuds : 122

Nombre de mailles et types : 100 QUAD8

Identification	Instants	Référence	Aster	% différence
Fréquence		44.762	43.870	-1.993
(mode 4 hors plan)				
Fréquence		110.52	106.041	-4.052
(modes 5 & 6 hors plan)				
Fréquence		169.08	160.055	-5.337
(mode 7 hors plan)				
Fréquence		193.93	193.588	-0.176
(Mode 8 dans le plan)				
Fréquence		206.64	206.192	-0.216
(mode 9 & 10 dans le plan)				

Titre : SDLS502 - Plaque carrée « solide » simplement supp[...]

Date: 03/08/2011 Page: 15/18 Responsable: Albert ALARCON Clé: V2.03.502

#### 8.4 Remarques

Dans Code\_Aster, les modes calculés sont ceux de corps rigide : le quatrième mode de référence est le premier mode calculé par Code\_Aster.

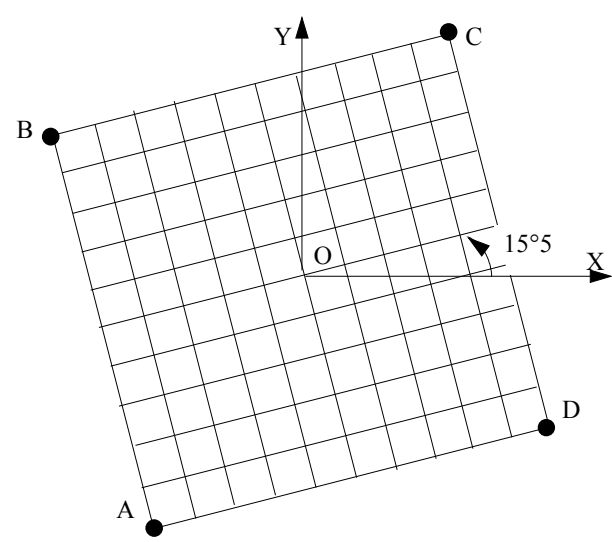
Apparition de deux modes de flexion entre les modes 8 et 9 de référence : ce sont les modes 6 et 7 de Code\_Aster.

Mode n°	Fréquence ( $H\!z$ )
1	43.87
2	106.04
3	106.04
4	160.06
5	193.59
6	199.64
7	200.13
8	206.19
9	206.19
10	219.26
11	245.68
12	245.68
13	249.20
14	287.99

Date: 03/08/2011 Page: 16/18 Responsable: Albert ALARCON Clé: V2.03.502 Révision: 6802

# **Modélisation G**

#### 9.1 Caractéristiques de la modélisation



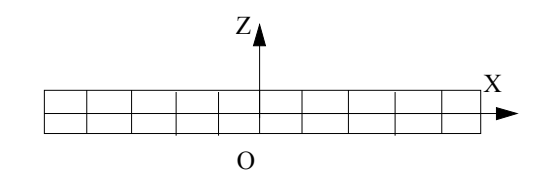
Modélisation 3D (HEXA20)

- Le plan moyen de la plaque est situé dans le plan Z= 2.3

- Point O: (0.;0.;2.3)

#### Conditions aux limites :

- Cotés AB, BC, CD, DA: w=0



#### Caractéristiques du maillage 9.2

Nombre de nœuds : 1266

Nombre de mailles et types : 200 HEXA20

Identification	Instants	Référence	Aster	% différence
Fréquence		44.762	43.862	-2.009
(mode 4 hors plan)				
Fréquence		110.52	105.953	-4.132
(modes 5 & 6 hors plan)				
Fréquence		169.08	159.749	-5.518
(mode 7 hors plan)				
Fréquence		193.93	193.590	-0.175
(Mode 8 dans le plan)				
Fréquence		206.64	199.410	-3.498
(mode 9 & 10 dans le plan)			199.903	-3.260

Date: 03/08/2011 Page: 17/18 Responsable: Albert ALARCON Clé: V2.03.502 Révision: 6802

#### 9.4 Remarques

Dans Code\_Aster, les modes calculés sont ceux de corps rigide : le quatrième mode de référence est le premier mode calculé par Code\_Aster.

Apparition de deux modes de flexion entre les modes 8 et 9 de référence : ce sont les modes 6 et 7 du Code\_Aster.

Mode n°	Fréquence ( $H\!z$ )		
1	43.86		
2	105.95		
3	105.95		
4	159.75		
5	193.59		
6	199.41		
7	199.90		
8	206.16		
9	206.16		
10	219.27		
11	245.07		
12	245.07		
13	249.13		
14	287.75		

Date: 03/08/2011 Page: 18/18

Titre : SDLS502 - Plaque carrée « solide » simplement supp[...]

Responsable : Albert ALARCON Clé : V2.03.502 Révision : 6802

# 10 Synthèse des résultats

Compte tenu de la nature de la solution numérique (éléments finis volumiques), les résultats obtenus sont satisfaisants pour les :

modélisation A et B (DST) l'écart maximum est de moins de 4% pour les 5 premiers modes, modélisation E et F (COQUE\_3D), l'écart maximum est d'environ 5% pour les 5 premiers modes, modélisation G (3D), l'écart maximum est d'environ 5% pour les 5 premiers modes, les modes de référence 5 et 6 hors plan présentent des symétrie différentes de celles rencontrées dans les modélisations E, F et G, mais elles sont équivalentes car il s'agit de recombinaisons modales.

Les modélisations C et D (DKT) sont moins satisfaisantes avec des écarts relatifs atteignant 10% sur le mode 7 hors plan, ceci est dû à la non prise en compte du cisaillement transverse pour cette plaque relativement épaisse.

De plus on observe l'apparition de modes de flexion et membrane pour toutes ces modélisations, y compris la modélisation 3D volumique G. Lorsque l'on raffine suffisamment les maillages, cette tendance se confirme et les écarts relatifs régressent. Le calcul 3D a par ailleurs montré qu'en deçà d'un maillage  $6\times 6$  dans le plan ( XY), les modes de flexion et membrane n'étaient pas détectés.